

図1 アモール型Ganymedの軌道と最接近(10月13日)位置

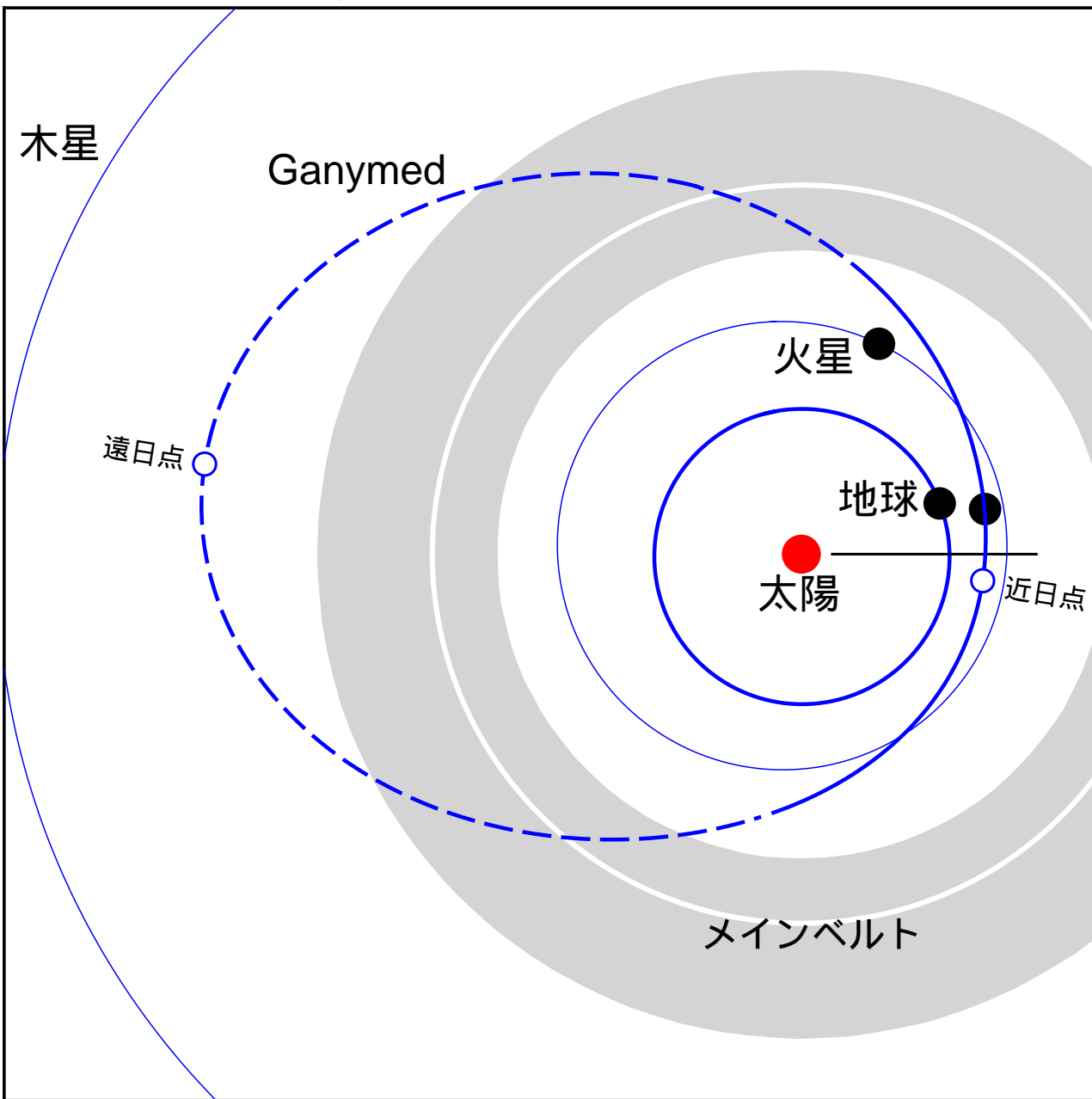
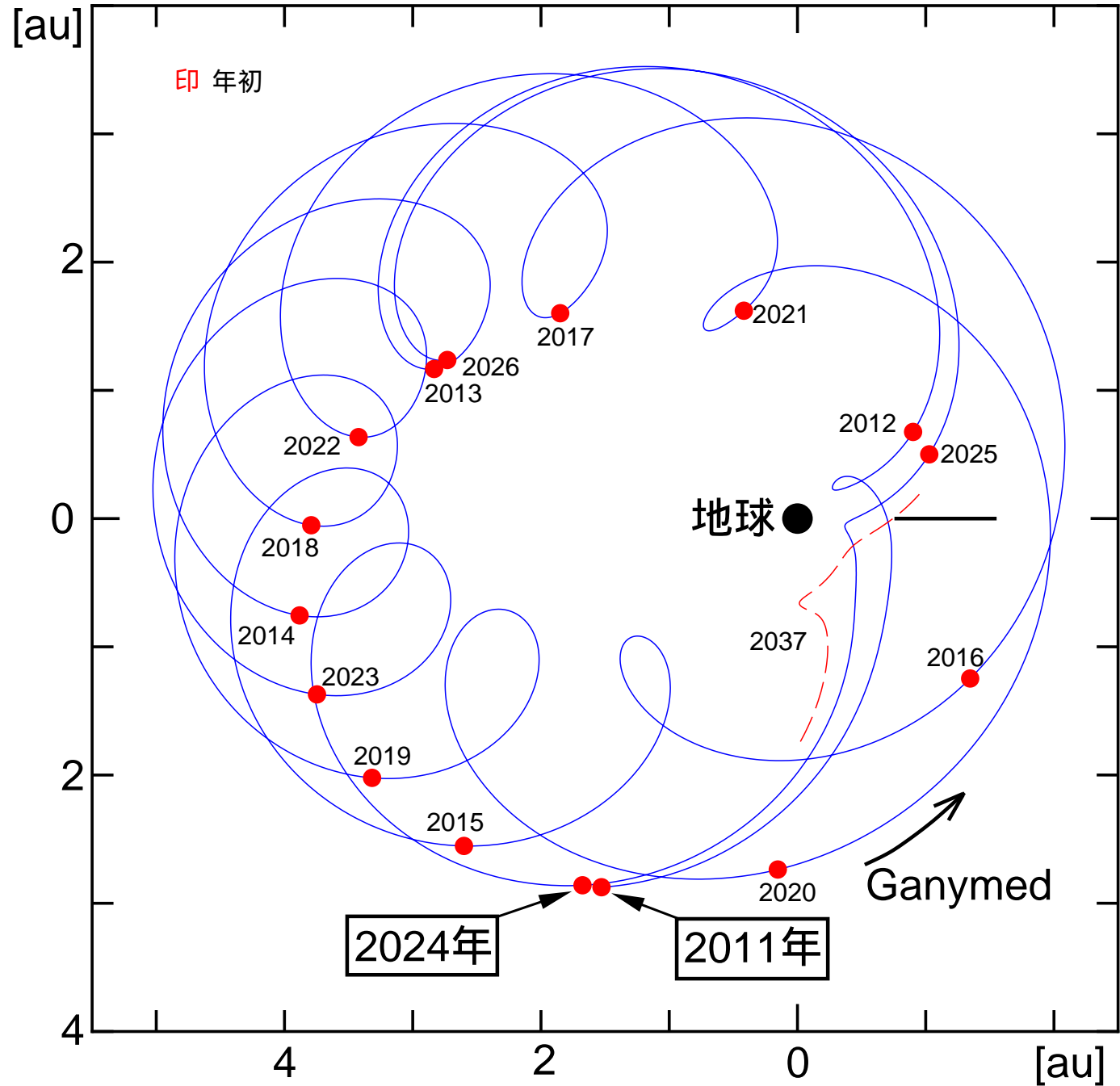


図2 地球と(1036)Ganymedとの距離(2011年-2026年)



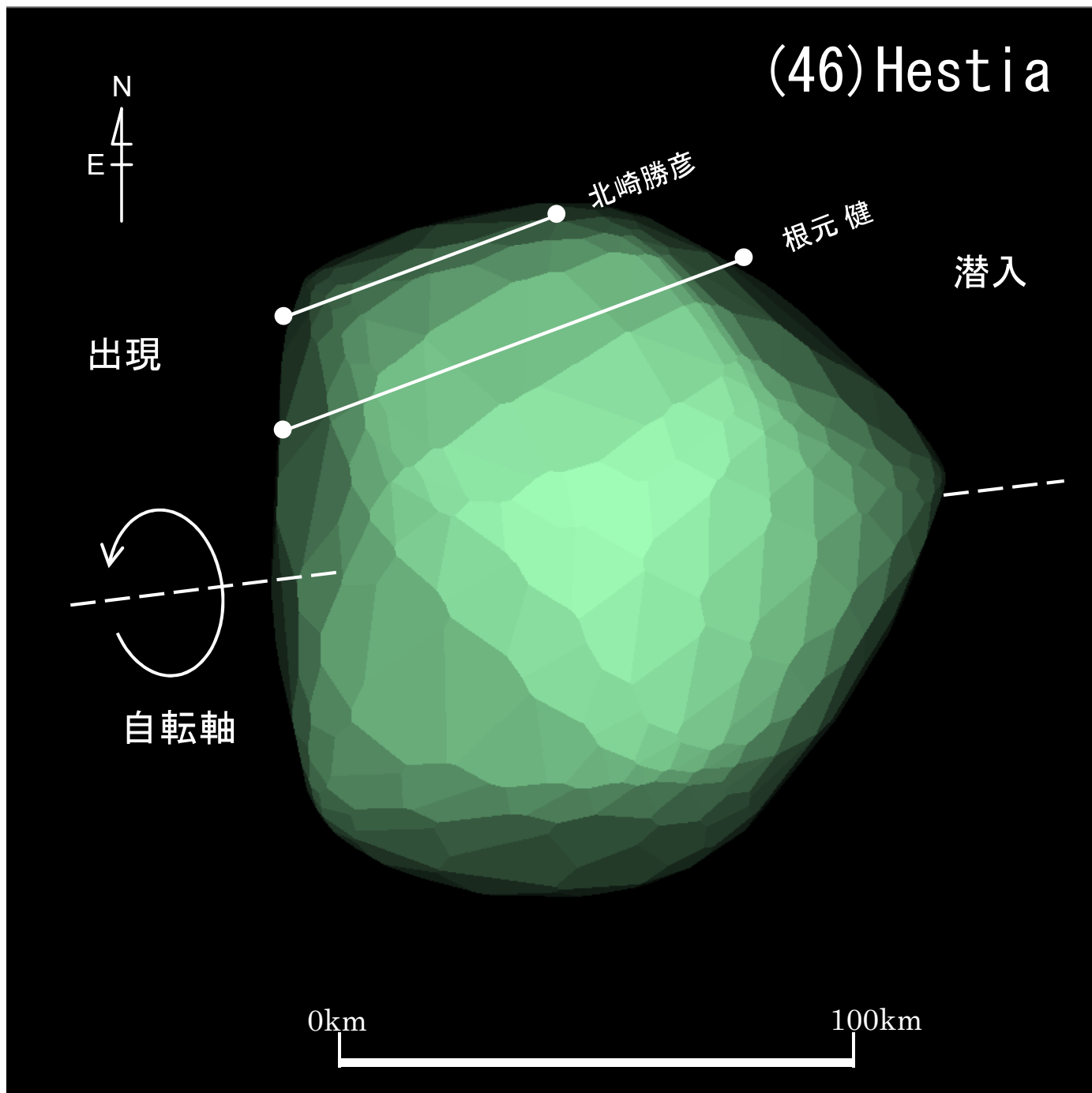


図4 (46) Hestia 2024年1月15日 19h47m10s UT DAMIT Model 4383 ($\lambda = 291$ 、 $\beta = +12$) $\times 1$
 $P = 97^\circ$ 、 $\beta_e = +42^\circ$ 、 $\lambda_e = -138^\circ$ 、Scale Factor 1: 108、 $k = 0.986$ 、 $B = 113.7^\circ$

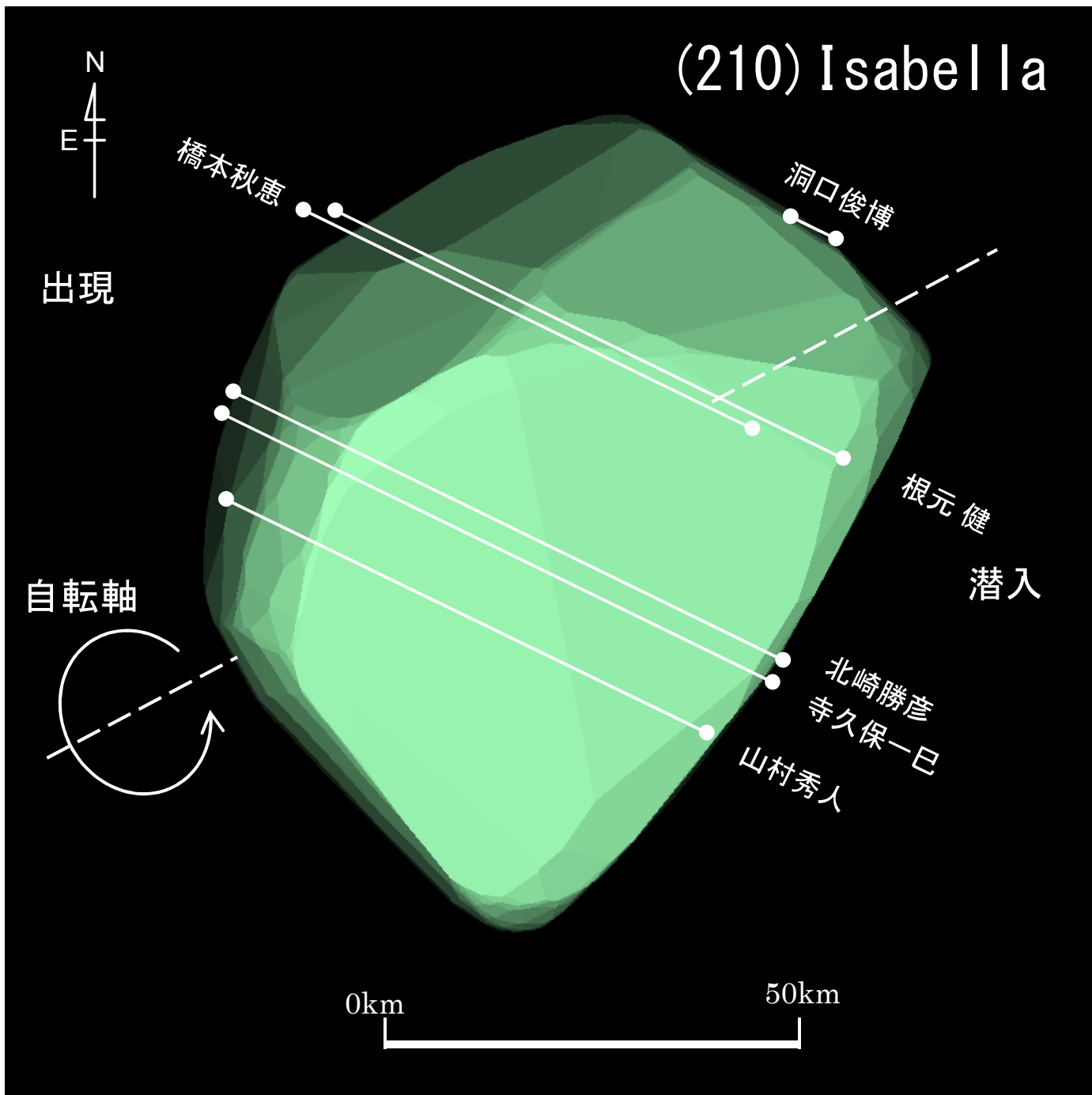


図5 (210) Isabella 2024年1月16日 15h19m38s UT DAMIT Model 988 ($\lambda = 100$ 、 $\beta = -14$) ※1
 $P = 118^\circ$ 、 $\beta_e = -56^\circ$ 、 $\lambda_e = -280^\circ$ 、Scale Factor 1: 63.3、 $k = 0.980$ 、 $B = 268.6^\circ$

(192) Nausikaa

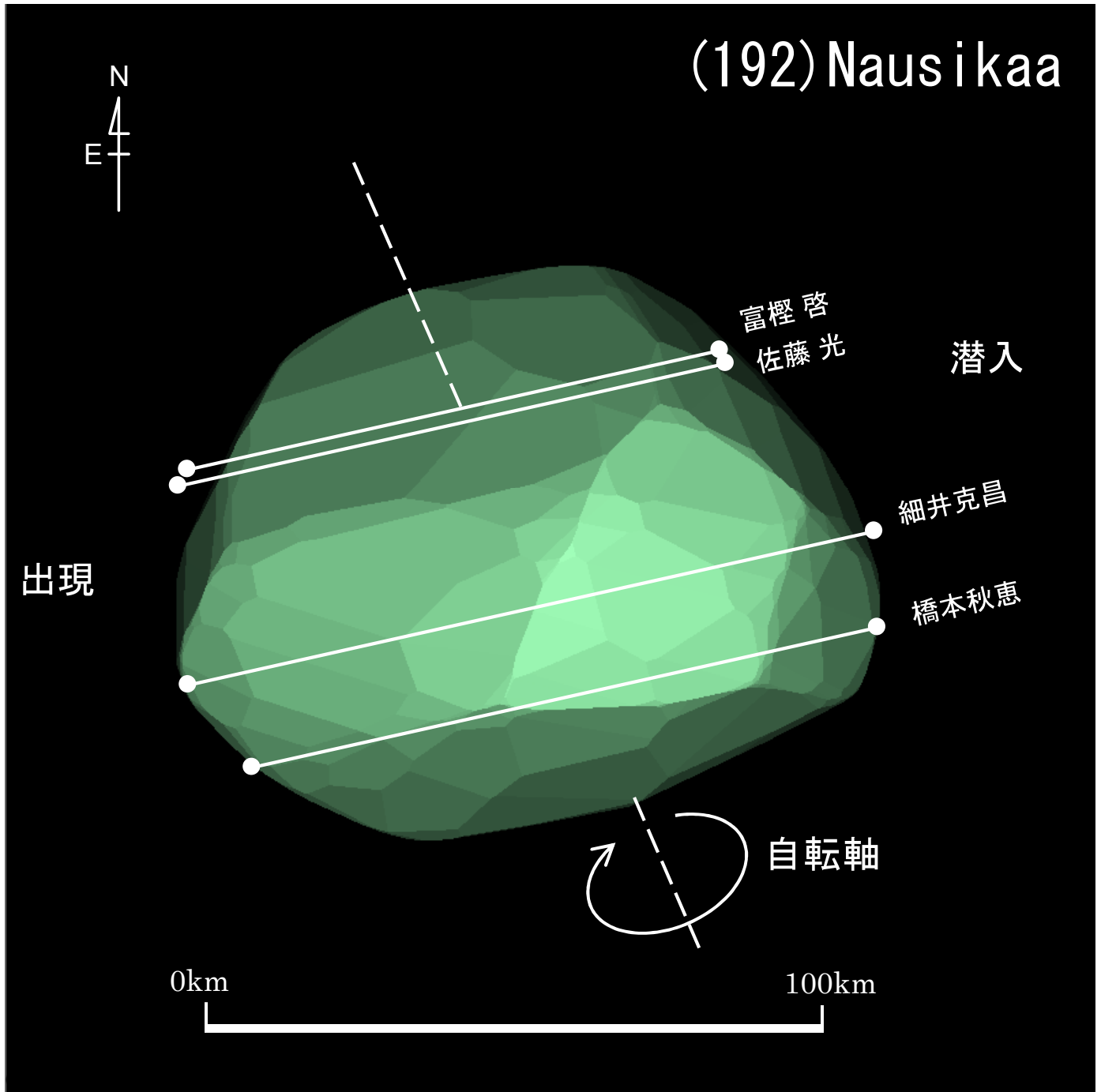


図6 (192) Nausikaa 2024年1月29日 17h07m22s UT DAMIT Model 1864 ($\lambda = 139$ 、 $\beta = -45$) ※1
 $P = 204^\circ$ 、 $\beta_e = -40^\circ$ 、 $\lambda_e = +9^\circ$ 、Scale Factor 1: 1.0、 $k = 0.998$ 、 $B = 92.4^\circ$

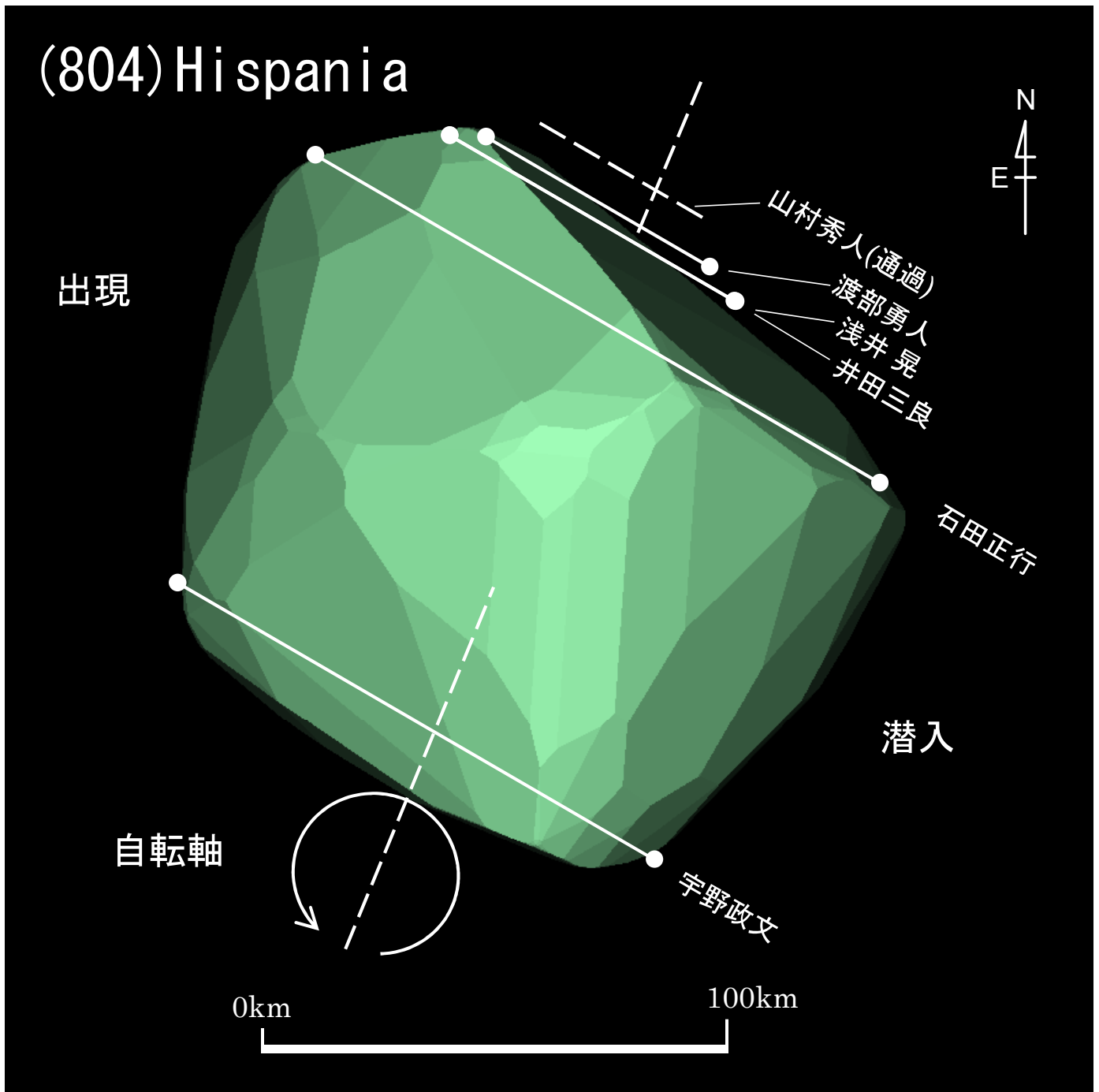


図7 (804) Hispania 2024年1月30日 16h48m02s UT DAMIT Model 8771 ($\lambda = 268$ 、 $\beta = -35$) ※1
 $P = 158^\circ$ 、 $\beta_e = +71^\circ$ 、 $\lambda_e = -28^\circ$ 、Scale Factor 1: 113.6、 $k = 0.991$ 、 $B = 301.0^\circ$

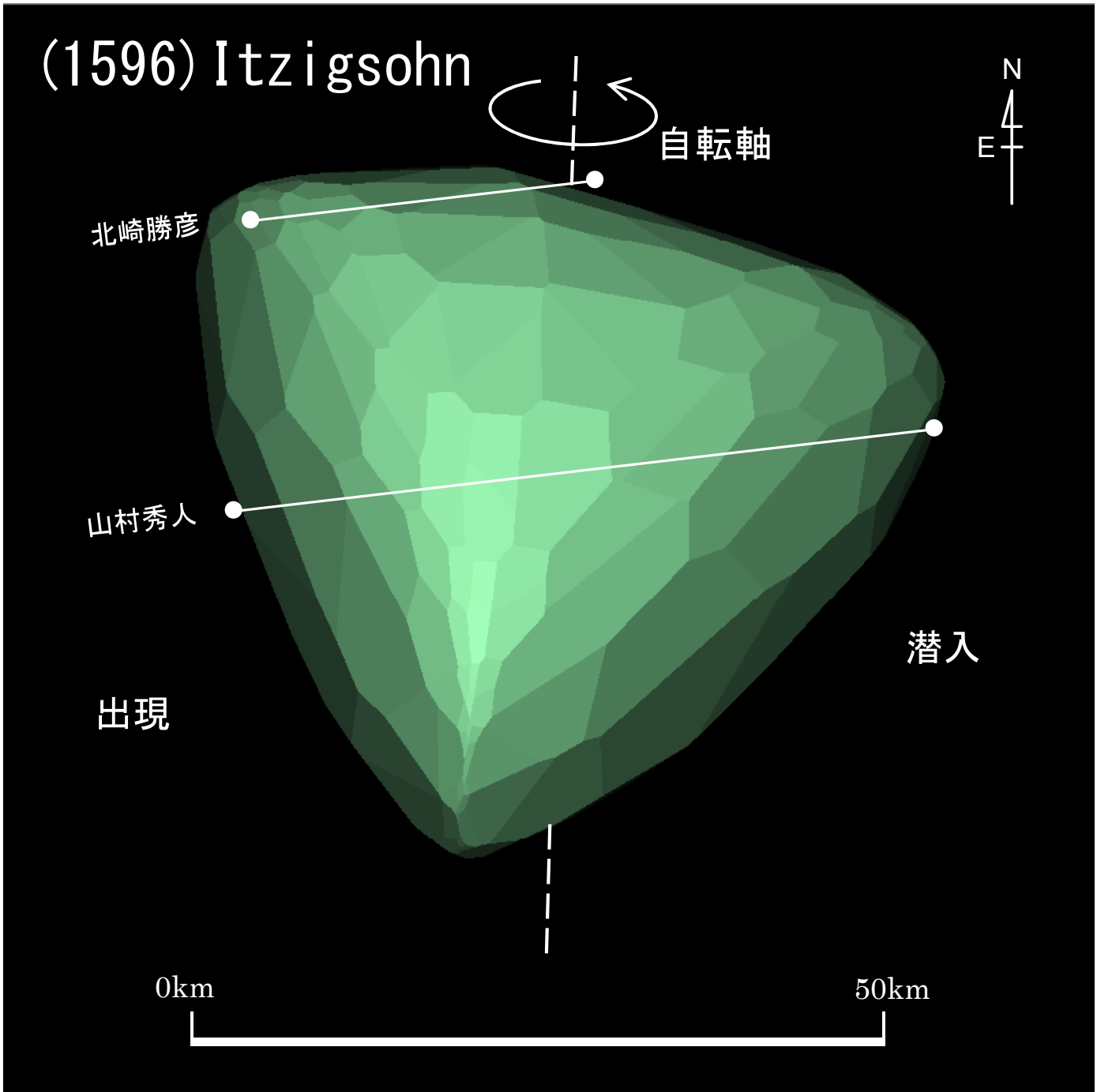


図8 (1596) Itzigsohn 2024年2月4日 12h10m09s UT DAMIT Model 8009 ($\lambda = 93$ 、 $\beta = +53$) ※1
 $P = 358^\circ$ 、 $\beta_e = -22^\circ$ 、 $\lambda_e = +111^\circ$ 、Scale Factor 1: 40.0、 $k = 0.990$ 、 $B = 252.5^\circ$

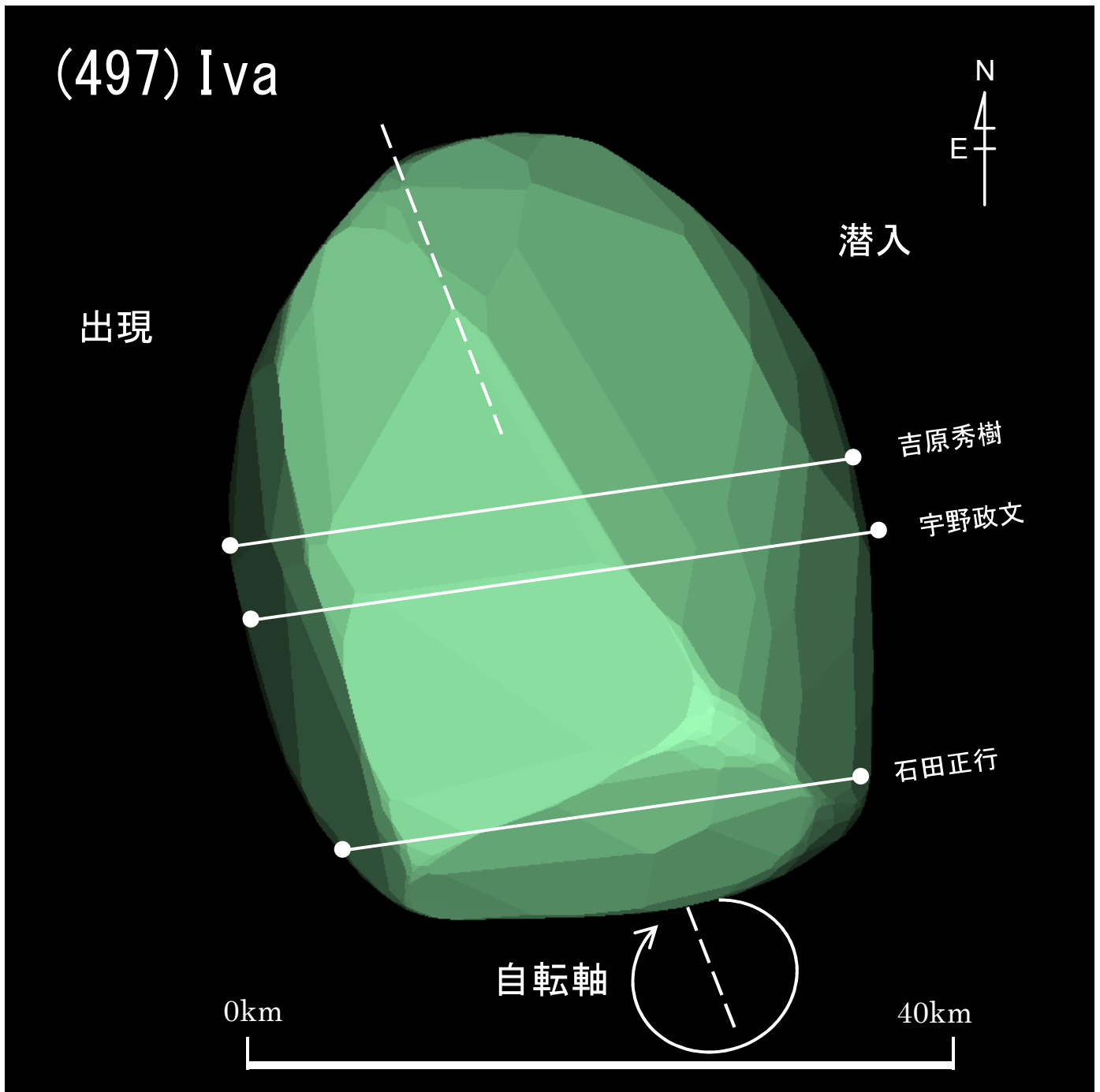


図9 (497) Iva 2024年2月5日 16h28m10s UT DAMIT Model 911 ($\lambda = 121$ 、 $\beta = -22$) ※1
 $P = 201^\circ$ 、 $\beta_e = -62^\circ$ 、 $\lambda_e = -233^\circ$ 、Scale Factor 1: 28.8、 $k = 0.999$ 、 $B = 311.2^\circ$

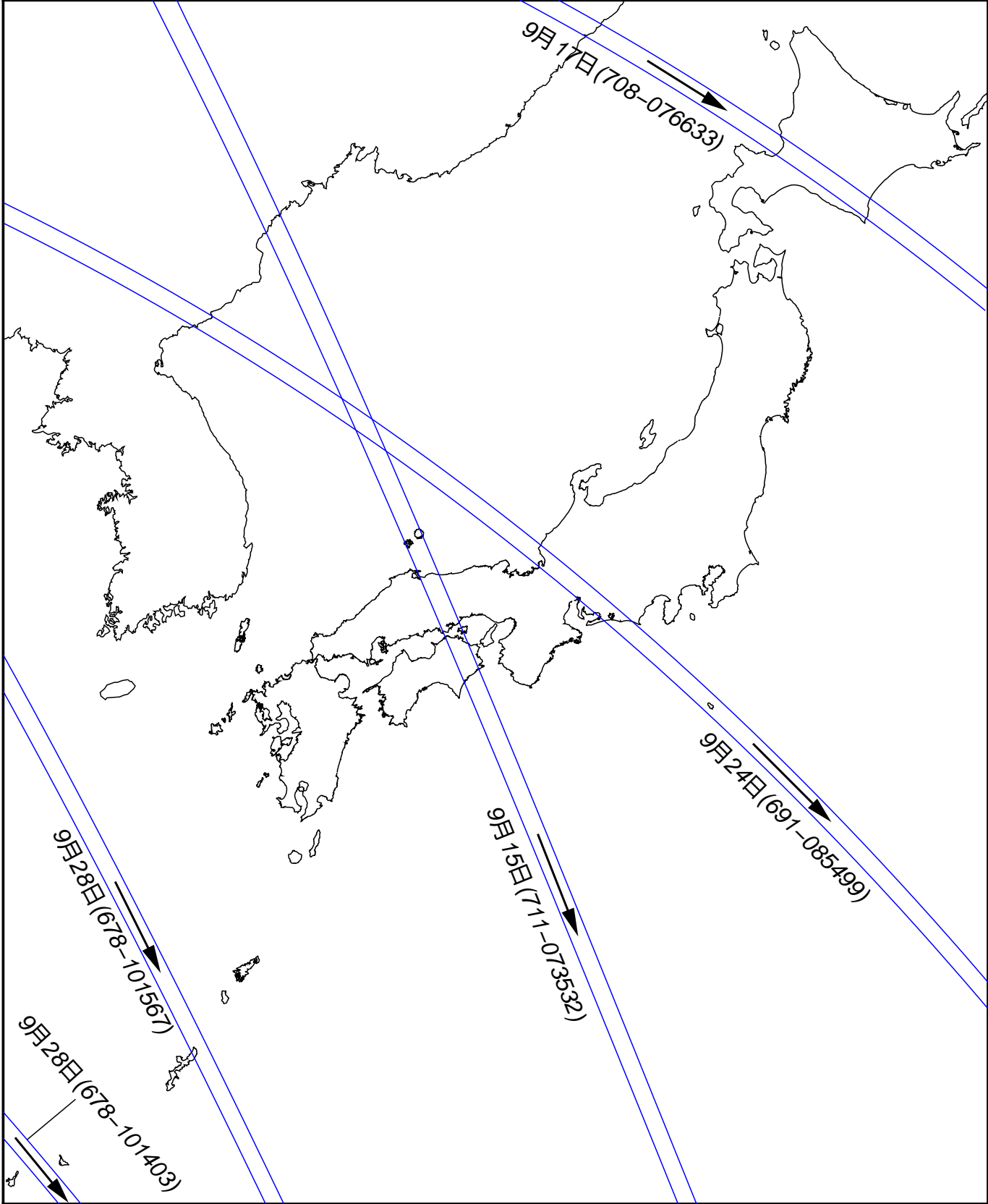


図10 小惑星(1036)Ganymedによる掩蔽帯経路予報2024年9月

矢印は影の移動方向を示す

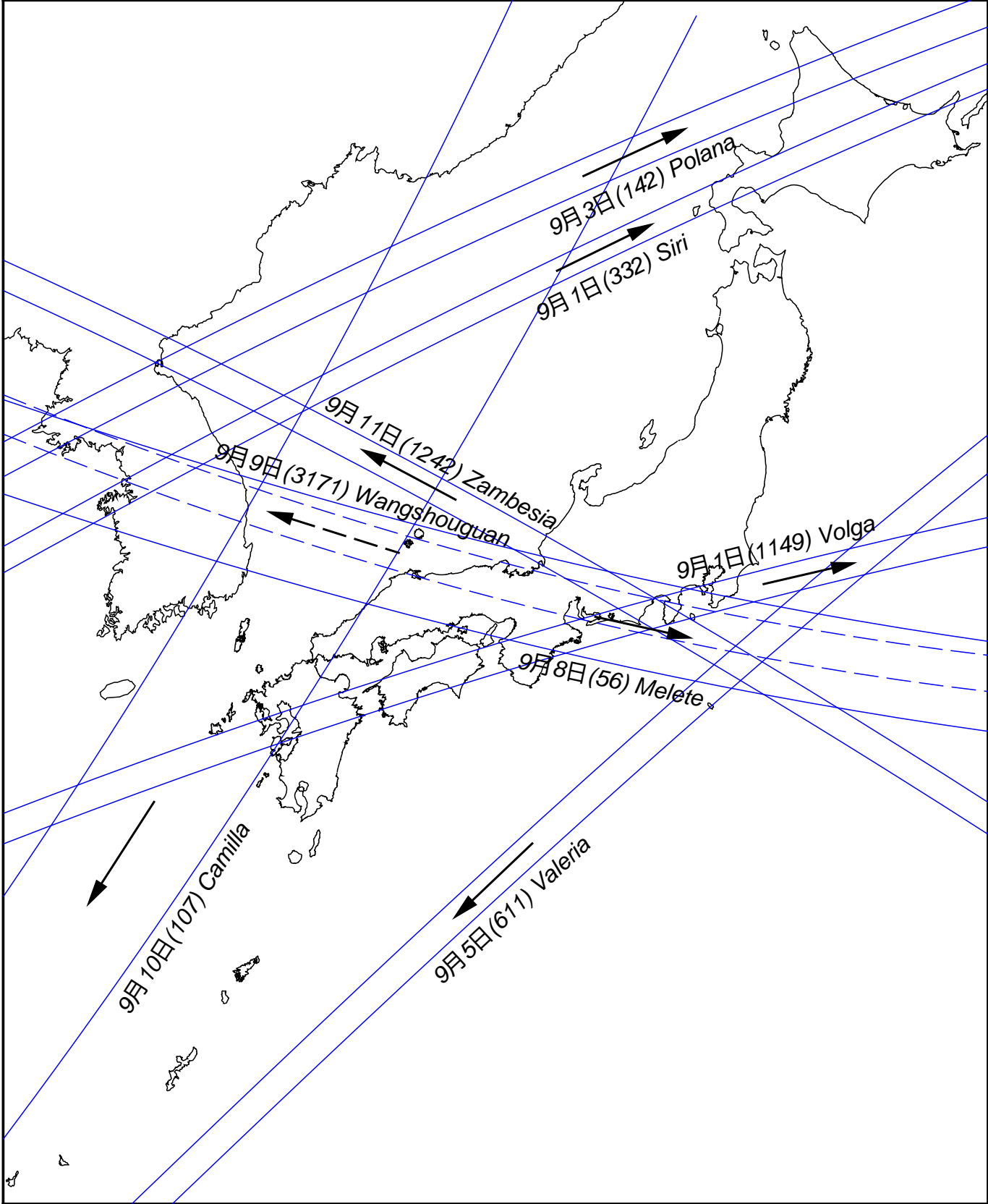


図11 小惑星による主な掩蔽帯経路 (S.Preston予報ほか) 2024年9月 前半
 矢印は影の移動方向を示す

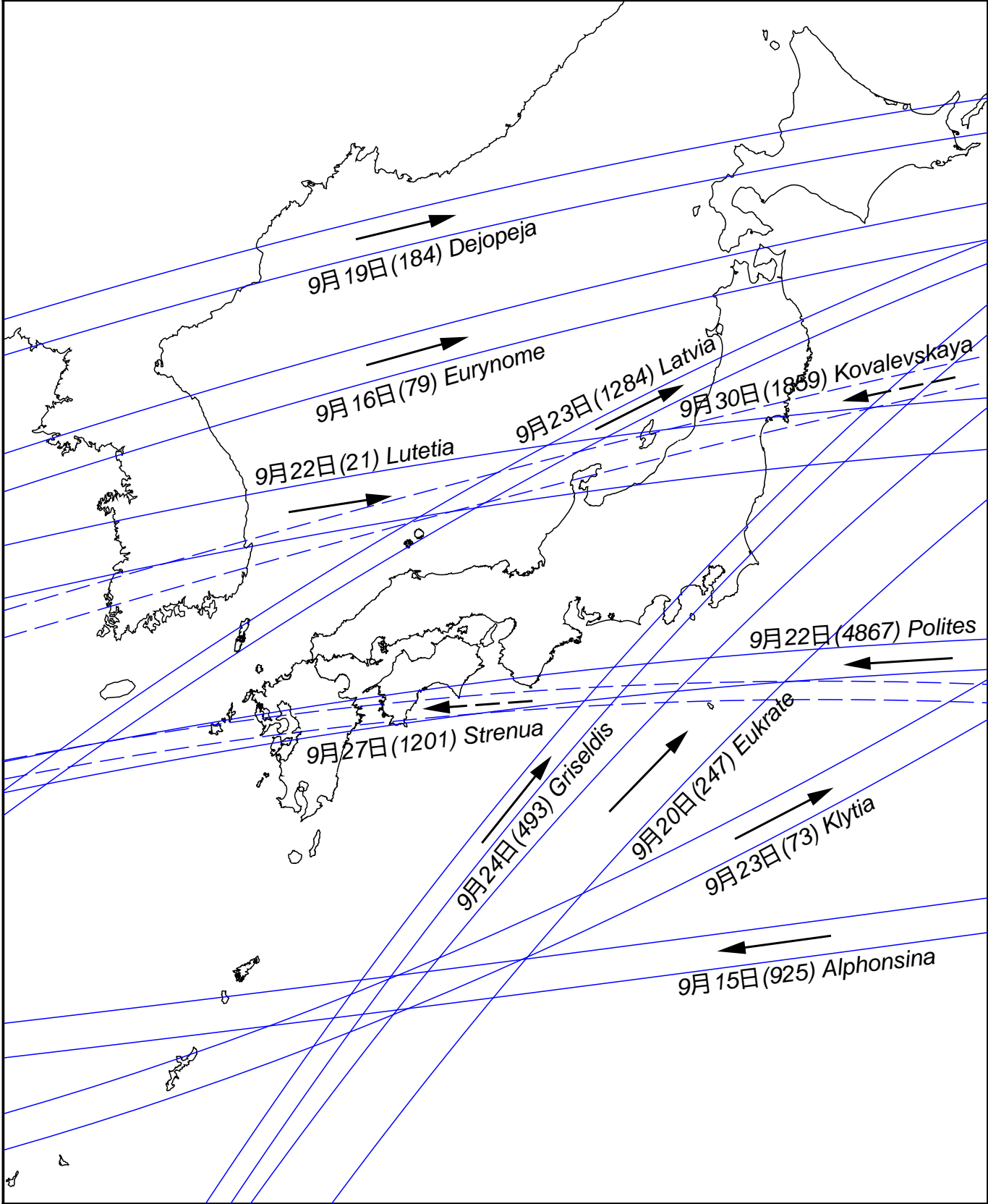


図12 小惑星による主な掩蔽帯経路 (S.Preston予報ほか) 2024年9月後半
 矢印は影の移動方向を示す